

- JF-9159.- Dique decimétrico del Granito de Grandes cortando al Granito biotítico de grano fino foliado.
- JF-9160.- Enclave de materiales metamórficos de alto grado en el Granito de Grandes.
- JF-9161.- Granito de Grandes. Se observa la presencia de una inhomogeneidad leucocrática de grano más grueso.
- JF-9162.- Granito de Grandes. Facies con un tamaño de grano algo menor que el habitual.
- JF-9163.- Roca híbrida de la zona de mezcla magmática de Valderodrigo. Enclaves redondeados de rocas básicas híbridas rodeados por una matriz leucócrata asimismo híbrida.
- JF-9166.- Roca híbrida de la zona de mezcla magmática de Valderodrigo. Algunos fenocristales de feldespato son idiomorfos, mientras que otros han sido corroídos.
- JF-9167.- Contacto, señalado por la carpeta, entre las rocas básicas de Valderodrigo (izq.) y el cortejo pegmatítico que limita por el W el Granito de Roblemocho.
- JF-9169.- Contacto neto entre la Facies Villar de Peralonso y el Granito de Grandes, afectado por una zona de cizalla tardía.
- JF-9170.- Visu Facies Villar de Peralonso fresco.
- JF-9171.- Visu Facies Villar de Peralonso con su típica alteración rosada.
- JF-9172.- Visu Facies Villar de Peralonso en tránsito gradual al Granito de Grandes (comparar con JF-9162).
- JF-9173.- Enclave gneísico en la Facies Villar de Peralonso en tránsito gradual al Granito de Grandes. Se conserva todavía la foliación de los gneises.
- JF-9174.- Visu Granito de dos micas de grano medio-grueso (Granito de Picones).
- JF-9175.- Visu Granito de dos micas de grano medio-grueso (Granito de Picones).
- JF-9176.- Bandeados composicionales en el Granito de Roblemocho.

- JF-9177.- Visu Granito de Roblemocho.
- JF-9178.- Granito de Roblemocho con enclaves restíticos.
- JF-9179.- Aspecto típico de afloramiento de la zona de mezcla magmática de Valderrodrigo.
- JF-9180.- Visu Granito de Valderrodrigo.
- JF-9181.- Visu Granito de Valderrodrigo.
- JF-9182.- Visu Granito de Fuentes de Masueco ligeramente alterado. Se observan claramente las placas de moscovita histerógena.
- JF-9183.- Granito de Fuentes de Masueco con sus típicos enclaves restíticos.
- JF-9184.- Vista de "la peña" del Granito de La Peña.
- JF-9185.- Visu Granito de La Peña fresco.
- JF-9186.- Visu Granito de La Peña. A causa de su alteración se ve claramente su porfidismo.
- JF-9187.- Enclaves restíticos (el color morado es debido a las agujas de sillimanita) en el Granito de La Peña.
- JF-9188.- Facies Villar de Peralonso con fenocristales de feldespató potásico.
- JF-9189.- Roca híbrida en la zona de mezcla magmática de Valderrodrigo.
- JF-9190.- Roca híbrida de la zona de mezcla magmática de Valderrodrigo. Orbículas con núcleo máfico y corona cuarzofeldespática. Algunos feldespatos son subidiomorfos y otros están corroidos.
- JF-9191.- Roca híbrida de la zona de mezcla magmática de Valderrodrigo.
- JF-9192.- Roca híbrida de la zona de mezcla magmática de Valderrodrigo. Destaca en ella un cristal de biotita de 2 cm. típico de determinados tipos de rocas básicas.
- JF-9193.- Roca híbrida de la zona de mezcla magmática de Valderrodrigo. Orbícula con núcleo cuarzofeldespático y sucesivas coronas de máficos y cuarzofeldespática.

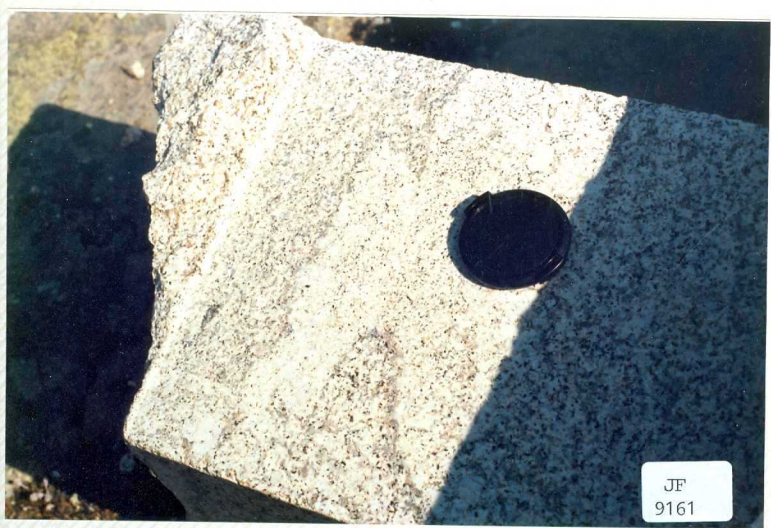
- JF-9194.- Roca híbrida de la zona de mezcla magmática de Valderodrigo. Se observan orbículas regulares e irregulares, y enclaves de grano menor y composición más básica que la roca básica que los engloba (dobles enclaves).
- JF-9195.- Roca híbrida de la zona de mezcla magmática de Valderodrigo.
- JF-9196.- Roca híbrida de la zona de mezcla magmática de Valderodrigo. La orientación de los fenocristales de feldespato potásico rodeando el enclave grande denota existencia de flujo durante la cristalización.
- JF-9197.- Visu Granito de Grandes facies porfídica.
- JF-9198.- Visu Granito de Grandes facies porfídica, con enclave restítico.
- JF-9199.- Visu Granito de Brincones, facies gruesa o común.
- JF-9200.- Visu Granito de Brincones, facies gruesa o común.
- JF-9201.- Visu Granito de Brincones, facies fina.
- JF-9202.- Visu Granito de Brincones, facies fina.
- JF-9203.- Visu Diques porfídicos ácidos.
- JF-9204.- Visu Diques porfídicos ácidos.
- JF-9205.-
- JF-9206.- Visu Granito Inhomogéneo. Se reconocen claramente
- JF-9207.- las inhomogeneidades en el tamaño de grano, y
- JF-9208.- las estructuras heredadas de los gneises.
- JF-9209.-



JF
9159



JF
9160



JF
9161



JF
9162



JF
9163



JF

9166



JF
9167



JF
9169



JF
9170



JF
9171



JF
9172



JF
9173



JF
9174



JF
9175



JF
9176



JF
9177



JF
9178



JF
9179



JF
9180



JF
9181

A red Pilot Hi-Tecpoint V5 pen is positioned diagonally on the left side of the image. The pen's body is a vibrant red, and the silver-colored clip is visible at the top. The background is a dense, speckled granite surface with a mix of light grey, white, and brownish-gold tones. In the bottom right corner, there is a small white rectangular label with black text.

PILOT Hi-Tecpoint V5

JF
9182



JF
9183



JF
9184



JF
9185



JF
9186



JF
9187



JF
9188



JF
9189



JF
9190



JF
9191



JF
9192



JF
9193



JF
9194

A photograph of a rock outcrop showing various geological features. The rock is dark grey to black with some lighter, brownish-orange staining. A red pen is placed vertically on the rock for scale. The rock surface is cracked and layered. A white label with the text 'JF 9195' is in the bottom right corner.

JF
9195



JF
9196



JF
9197



JF
9198



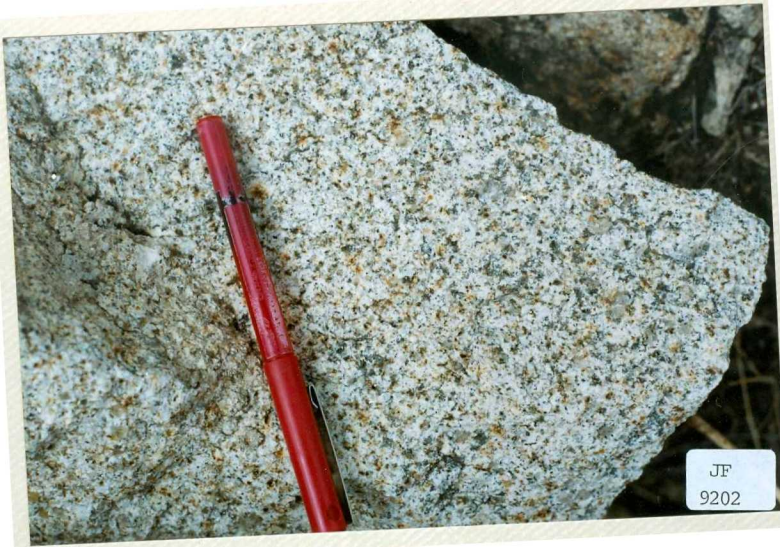
JF
9199



JF
9200



JF
9201



JF
9202



JF

9203



JF
9204



JF

9205



JF
9206



JF
9207



JF
9208



JF
9209